

## Esperienza 13

Brugnara Fabio  
Debiasi Maddalena  
Musso Francesco  
**Gruppo A01**

15 dicembre 2019

# 1 Analisi teorica

Si vuole studiare il comportamento di un circuito incognito rappresentato nella figura sottostante.

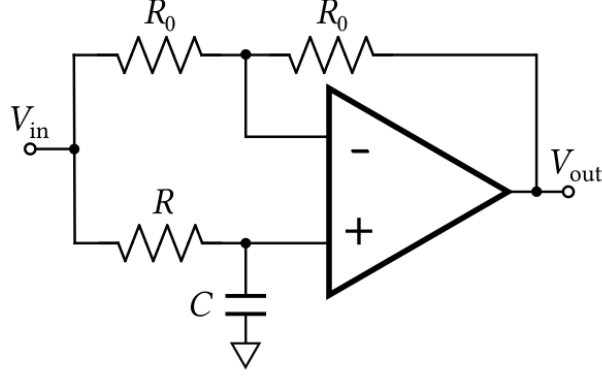


Figura 1

Studiando il circuito in trasformata di Laplace, si usano le impedenze generalizzate  $Z_R = R$ ,  $Z_{R_0} = R_0$  e  $Z_C = \frac{1}{sC}$ , il teorema di Millman e l'ipotesi che l'op-amp sia ideale ottenendo il sistema di equazioni:

$$\begin{cases} \tilde{V}_+ = \tilde{V}_- \\ \tilde{V}_+ = \frac{\frac{\tilde{V}_{in}}{R}}{\frac{1}{R} + sC} \\ \tilde{V}_- = \frac{\tilde{V}_{out} + \tilde{V}_{in}}{2} \end{cases}$$

Risolvendo il sistema si trova un'unica equazione di  $\tilde{V}_{out}$  in funzione di  $\tilde{V}_{in}$  così da ottenere direttamente la funzione del guadagno (con  $s = -i\omega$  e  $\tau = RC$ ):

$$\tilde{G}(\omega) = \frac{1 - sRC}{1 + sRC} = \frac{1 + i\omega\tau}{1 - i\omega\tau} = e^{2i \arctan(\omega RC)} \quad (1)$$

Calcolando l'antitrasformata, usando le tabelle presenti online, si ottiene la funzione di trasferimento nello spazio dei tempi:

$$G = \frac{2\theta(t)}{\tau} e^{-\frac{t}{\tau}} - \delta(t) \quad (2)$$

Successivamente si grafica il diagramma di Bode ponendo  $R = 20 \text{ k}\Omega$  e  $C = 10 \text{ nF}$ . Osservando l'equazione 1 si evince immediatamente che il modulo di  $\tilde{G}$  è uguale ad 1, indipendentemente dalla frequenza, mentre la fase è:

$$\varphi = 2 \arctan(\omega\tau) \quad (3)$$

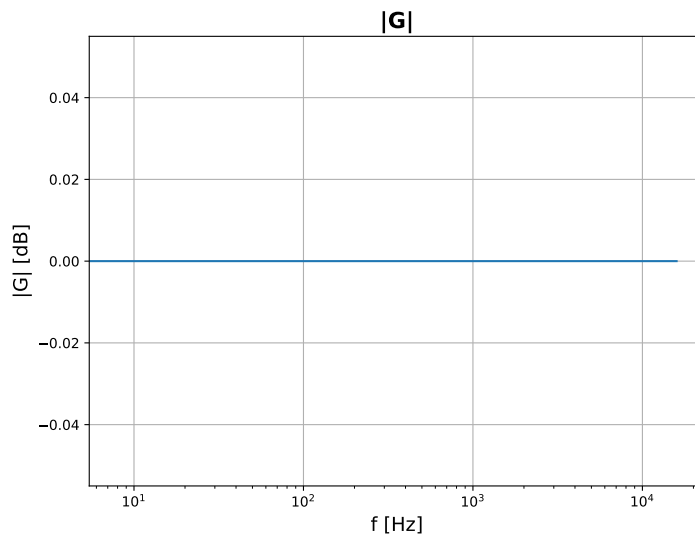


Figura 2: Modulo funzione trasferimento

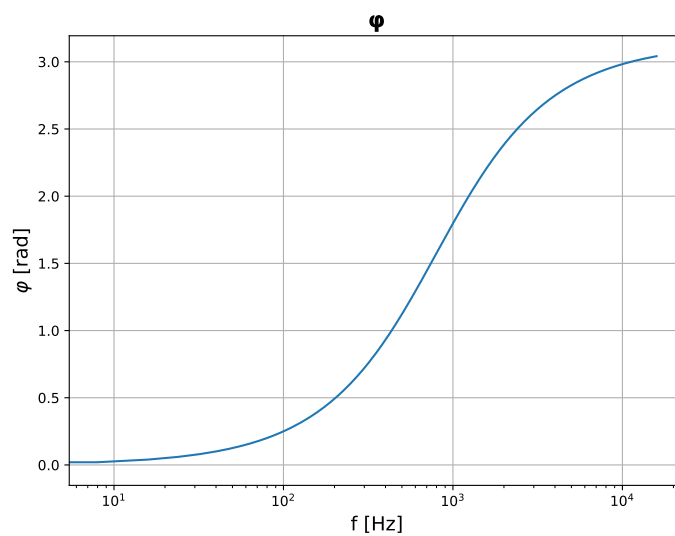


Figura 3: Fase funzione di trasferimento

Osservando i Bode plot si capisce il funzionamento di questo circuito ignoto, comprendendo come si tratti di un circuito sfasatore (il modulo rimane costante al variare della frequenza, mentre la fase, a causa del passa-basso, viene sfasata al variare della frequenza fino a uno sfasamento di  $\pi$ )

## 2 Realizzazione sperimentale

Ora si realizza sperimentalmente il circuito e facendo riferimento alla figura 2 si utilizza  $R_0 = 10 \text{ k}\Omega$ ,  $R$  un trimmer da  $50 \text{ k}\Omega$  e  $C = 10 \text{ nF}$ .

Il modulo non cambia al variare di  $R$ , mentre si studia l'andamento della fase per verificare l'equazione 3.

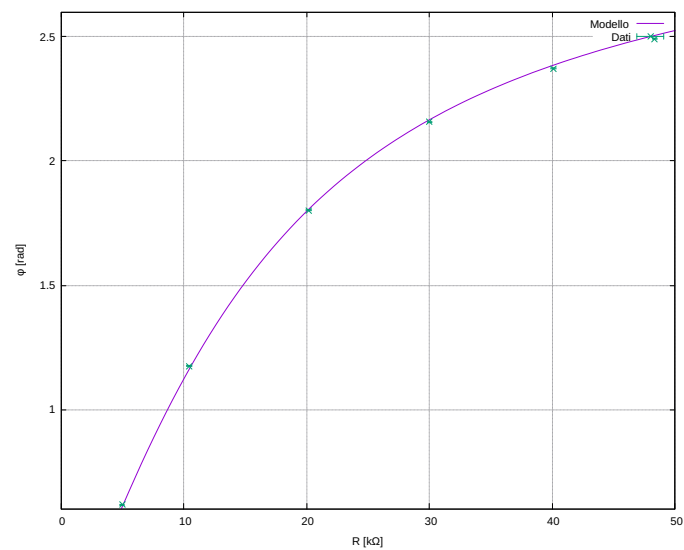


Figura 4:  $\varphi$  al variare di  $R$

Si riportano i diagrammi di Bode sperimentali, realizzati per confermare la validità delle predizioni teoriche della sezione precedente.

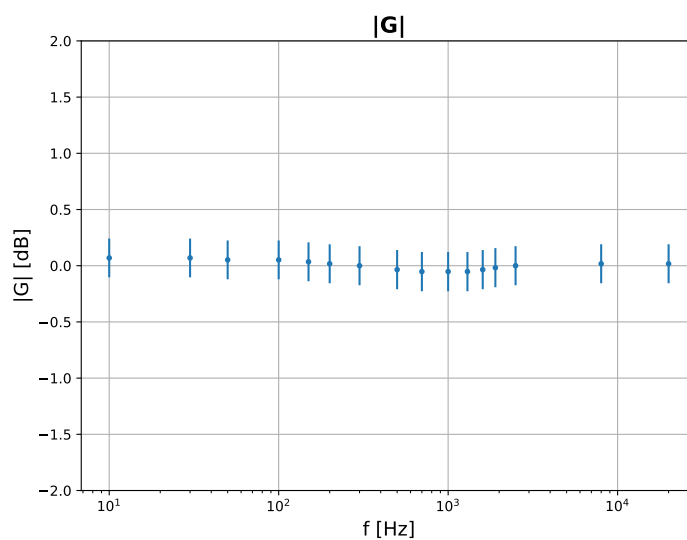


Figura 5: Modulo funzione di trasferimento sperimentale

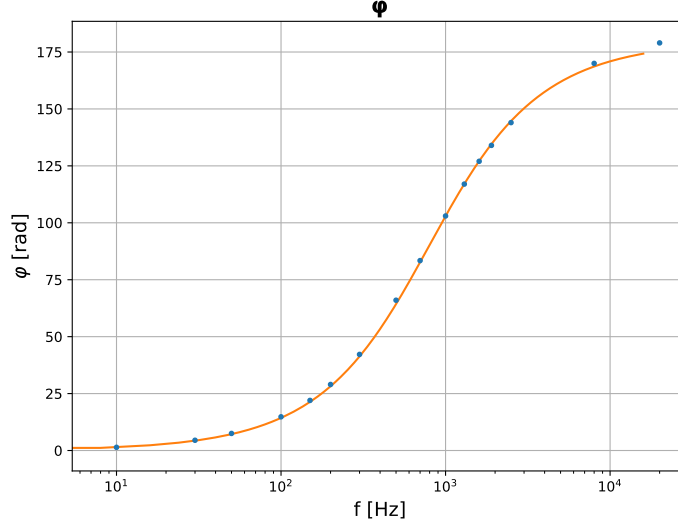


Figura 6: Fase funzione di trasferimento sperimentale

I moduli di  $G$ , in dB, risultano tutti compatibili con 0, come predetto dal modello e la fase teorica rispecchia fedelmente i valori sperimentali registrati.

### 3 Applicazione al circuito

Al circuito studiato nelle sezioni precedenti si aggiungono due comparatori LM311. Gli ingressi invertenti vengono messi a massa, mentre agli ingressi non-invertenti vengono collegati l'ingresso e l'uscita del circuito precedente.

Le uscite dei due comparatori vengono collegate agli ingressi di una porta XOR e viene osservato il comportamento dell'uscita al variare della resistenza  $R$  (in riferimento alle sezioni precedenti).

In uscita si osserva un segnale TTL a frequenza raddoppiata rispetto al segnale in ingresso dove all'aumentare di  $R$  risulta un duty maggiore.

Chiamando  $\ell$  la durata dello stato 1 (corrispondente a 3.8 V) si trova la dipendenza lineare con la fase:

$$\ell = \frac{\varphi}{2\pi f} \quad (4)$$

Dove con  $f$  si indica la frequenza del segnale in ingresso. Successivamente si può ricavare la dipendenza di  $\ell$  da  $R$  utilizzando la relazione trovata nella sezione precedente ( $\varphi(R) = 2 \arctan(\omega RC)$ ).

Essendo il circuito un duplicatore di frequenza e convertitore di un'onda sinusoidale in un segnale TTL si suppone che il nome del circuito costruito possa essere "*duplicatore-convertitore AC-TTL*".

Di seguito si riporta un esempio di come lavora questo circuito:

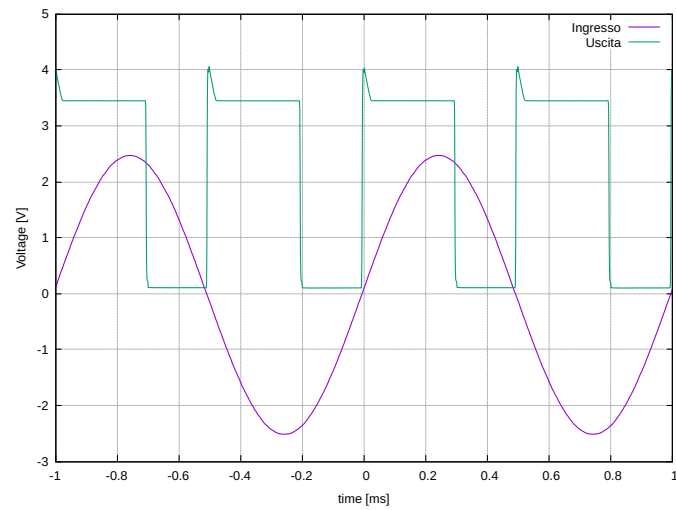


Figura 7

Dal grafico precedente si evince che il circuito lavora come monostabile, in corrispondenza del *rising edge* dell'onda sinusoidale infatti in uscita si trova un impulso di durata fissata dalla resistenza  $R$  e dalla capacità  $C$ .